

○ 豊田高専 正員 桜井 孝昌
東京大学 正員 西野 文雄

まえがき 本報告はKirchhoff-Loveの仮定のもとにシエルの幾何学的非線形理論を説明したものである。一般にシエルの有限変位理論は煩雑で、この二式の説明過程を理解しにくくしてしまった因となる。また、厳密な構成方程式が得にくいため計算が複雑で、(1.2)式。本報告ではシエルの有限変位理論をできる限り簡明に表現し、その本質が明確にあるよう配慮した。式の説明にはテンソルの手法⁽²⁾を用い、変形前と後のテンソル諸量と同じ形式で表かし式の単純化を行った。

シエルの有限変位解析

Middle Surface

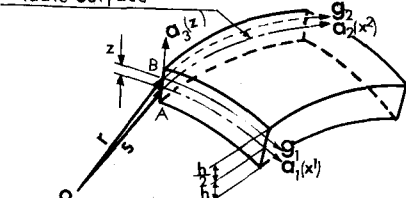


Fig. 1 Shell Element

(1) 直角座標系による表示

原点よりシエル中央面上の位置の点Aまでの距離を s 、その面に垂直でその点から又だけ離れた点Bまでの距離を r とする。中央面およびその面に平行で点Bを通る曲面を表す基ベクトルは、座標系 (x_1', x_2') とする(Fig. 1参照)次式のように表わされる。

$$\begin{aligned} \alpha_\alpha &= \partial s / \partial x^\alpha = s_\alpha \\ r &= s + z \alpha_\alpha \\ g_\alpha &= r_\alpha = \alpha_\alpha + z \alpha_{\alpha, \alpha} \\ g_3 &= \alpha_3 \end{aligned} \quad \left. \begin{array}{l} (1.1.a,b,c,d) \end{array} \right.$$

α_α は α_α と直交しかつ単位ベクトルである。曲面の幾何学より

$$\alpha_{3,\alpha} = -b_\alpha^\beta \alpha_\beta \quad b_\alpha^\beta: \text{曲率テンソル} \quad (1.2)$$

(1.1c), (1.2)より s_α をクロネッカーデルタとして

$$g_\alpha = (s_\alpha' - z b_\alpha^\beta) \alpha_\beta - \mu_\alpha^\beta \alpha_\beta \quad (1.3)$$

以上の式において、ギリシャ文字 β は面内量に関する添字で $1, 2$ と表わす。添字につけては統一規約

を適用する。

変形後の諸量につけては、記号の上に“ $\hat{\cdot}$ ”をつけて表わす。Kirchhoff-Love および板厚不变の仮定のもとに変形を考えるものとする。それゆえの仮定は、

$$\begin{aligned} \hat{s}_\alpha \cdot \hat{g}_3 &= \hat{g}_{\alpha 3} = 0 \\ 1 \hat{a}_{\alpha 3} &= 1 \end{aligned} \quad \left. \begin{array}{l} (1.4.a,b) \end{array} \right.$$

で表わされる。歪テンソルは中央面に関する計量テンソルと曲率テンソルにより、次式で表わされる。

$$\begin{aligned} \hat{g}_{\alpha\beta} &= \frac{1}{2} (\hat{a}_{\alpha\beta} - a_{\alpha\beta}) - 2z (\hat{b}_{\alpha\beta} - b_{\alpha\beta}) + z^2 (\hat{b}_{\alpha\beta} \hat{b}_{\alpha\beta} - b_{\alpha\beta}^T b_{\alpha\beta}) \\ \hat{a}_{\alpha\beta} &= \hat{g}_{\alpha\beta} = 0 \end{aligned} \quad \left. \begin{array}{l} (1.5.a,b) \end{array} \right.$$

(2) フリオル式

変形後の単位面積当たりに作用する応力テンソルの i 、変形後の微小体積 $d\hat{V}$ とすると、3次元物体内の微小体積に関するフリオル式は、

$$(r^{ij} \hat{g}_j)_i d\hat{V} + \bar{x}^k g_k d\hat{V} = 0 \quad (2.1)$$

$$\begin{aligned} d\hat{V} &= \sqrt{\hat{a}} \hat{\mu} dx' dx^2 dz \\ \hat{\mu} &= |\hat{P}_\alpha^\alpha| = |\hat{M}_1^\alpha, \hat{M}_2^\alpha| \\ \sqrt{\hat{a}} &= |\hat{a}_{ij}| \quad (i,j=1,2,3) \\ \bar{x}^k &= |\sqrt{\hat{a}} / \hat{M}_2^\alpha| X^k \quad (k=1,2,3) \end{aligned} \quad \left. \begin{array}{l} (2.2.a,b,c,d) \end{array} \right.$$

上式にあり X^k および \bar{x}^k はそれぞれ変形前および変形後の単位体積当たりに作用する物体力である。式(2.1)を z に関して $-z$ から z まで積分すること次式となる。

$$\begin{aligned} (\hat{N}^{00} \hat{b}_{\alpha\beta} + \hat{Q}^{03} \hat{b}_{\alpha\beta}^\beta + \hat{P}^\alpha) \hat{a}_{\alpha\beta} + (\hat{N}^{00} \hat{b}_{\alpha\beta} - \hat{Q}^{03} \hat{b}_{\alpha\beta}^\beta + \hat{P}^\alpha) \hat{a}_{\alpha\beta} \\ + \hat{P}^\alpha \hat{a}_{\alpha\beta} + \hat{P}^\beta \hat{a}_{\alpha\beta} = 0 \\ \hat{N}^{00} = \int_{-z}^z \sigma^{00\beta} \hat{\mu} \hat{P}_\beta^\beta dz \\ \hat{Q}^{03} = \int_{-z}^z \sigma^{03\beta} \hat{\mu} dz \end{aligned} \quad \left. \begin{array}{l} (2.3.a,b,c) \end{array} \right.$$

上式において、 \hat{P}^α , \hat{P}^β はシエル表面に作用する外力であり P^α , P^β は物体力，“ $\hat{\cdot}$ ”は面内共変微分を表す記号である。

\hat{a}^α 方向のエーメントに関するフリオル式をつくったため、式(2.1)と $\hat{z} \hat{a}_3$ との外積をつくり、 z に関して積分する。

$$(-\hat{M}^{00\beta} - \hat{Q}^{03\beta} + \hat{M}_\alpha^\alpha) \hat{a}^\alpha = 0 \quad \left. \begin{array}{l} (2.4.a,b) \end{array} \right.$$

$\hat{M}^{00\beta} = \int_{-z}^z \sigma^{00\beta} \hat{\mu} z dz$

ただし上式の \hat{M}_α^α は外力によるエーメントを表す。

モード方向のモーメントのフリーリー式は、3次元微小要素のモードモードのフリーリー式より。

$$\partial^{\alpha} = \partial^{\beta}$$

これを直して式に代入して積分する。

$$\int_{\frac{1}{2}L}^{\frac{1}{2}L} \hat{E}_{\alpha\beta} \hat{\mu} \partial^{\alpha} dz \hat{a}^3 = \hat{E}_{\alpha\beta} (\hat{N}^{\alpha\beta} + \hat{b}_{\alpha}^{\beta} \hat{A}^{\alpha\beta}) \hat{a}^3 = 0 \quad (2.4c)$$

ただし $\hat{E}_{\alpha\beta}$ は \hat{a}^3 素における交代テンソルである。
(2.4c) は応力テンソルの対称性と等価をもつてあ
るところが恒等式である。

(3) 境界条件

曲面上の任意の境界線を表す基ベクトルを \hat{a}_2 とし
これと直交する基ベクトルを \hat{a}_1 とする。境界線を含む
中央面に垂直な変形後の断面(境界線断面)に作用
する単位面積当たりの外力を \bar{T} とする。

$$\bar{T} = T^k g_{jk} = CT^k g_{jk} \quad (3.1)$$

上の式の T^k や g_{jk} はそれぞれ変形前および変形後の
面積に作用する単位面積当たりの外力である。上の外
力を式に代入して積分し、中央面における合力および合
モーメントを求める。これらと応力による合力、合モ
ーメントが等しいとして、力学的境界条件が求まる。
この場合、合モードモードのうち \hat{a}_1 方向のモードモード
(ねじりモードモード) を合力に置換する必要がある。
幾何学的境界条件は、以上の力と力に応じた変位および
回転が定まる。力学的境界条件は次式となる。

$$\begin{aligned} \hat{P}^j \hat{a}_1^i &= \bar{T}^j \hat{a}_1^i \\ \hat{L}_{12}^i &= \hat{L}_{12}^i \end{aligned} \quad \left. \right\} \quad (3.2.a.b)$$

上式の \hat{P}^j , \hat{L}_{12}^i は境界線断面上の応力による合力お
よび合モードモードであり、 \bar{T}^j , \hat{L}_{12}^i は外力 \bar{T} による
ものである。さらに \hat{a}_1^i , a_1^i は変形前の方向における
3関係式にするための計量テンソルである。

境界線上の強制変位および強制回転量をそれぞれ
 \bar{u}_0 , $\bar{\theta}_0$ とし、次のようく定義する。

$$\begin{aligned} \bar{u}_0 &= \bar{u}_0^i a_i \\ \bar{\theta}_0 &= \bar{\theta}_{01}^i \hat{a}_1^i + \bar{\theta}_{03}^i \hat{a}^3 \end{aligned} \quad \left. \right\} \quad (3.3.a.b)$$

境界線上の変位 \bar{u}^i , 回転 $\bar{\theta}_2^i$ に関する幾何学的境界
条件は次式となる。

$$\begin{aligned} \bar{u}^i &= \bar{u}_0^i \\ \bar{\theta}_2^i &= \bar{\theta}_{02}^i \end{aligned} \quad \left. \right\} \quad (3.4.a.b)$$

(4) 構成方程式

等方弾性体の応力-歪関係は、ヤング係数 E , ポアソン比 ν とすると次式となる。

$$E \eta_j^i = (1+\nu) \eta_j^i - \nu \cdot \sigma_m^m \delta_j^i \quad (4.1)$$

平面応力状態を仮定して、次の条件を導入する。

$$\partial_3^d = \partial_2^d = \partial_3^s = 0 \quad (4.2)$$

(4.1), (4.2) を用いて $\partial^{\alpha\beta}$ を計算し、(2.3b), (2.4b)
に代入する。

$$\begin{cases} \hat{N}^{\alpha\beta} \\ \hat{M}^{\alpha\beta} \end{cases} = \frac{E}{1-\nu^2} \hat{a}^{\alpha\beta} \hat{a}^{ku} \int_{\frac{1}{2}L}^{\frac{1}{2}L} \{ (1-\nu) \hat{a}_1^k \hat{a}_1^u + \nu \hat{a}_1^k \hat{a}_1^u \\ \times \hat{a}_{23} \hat{a}_{23}^j \hat{a}_1^j \hat{a}_1^u \} dz \quad (4.3a)$$

$$\text{ただし } \hat{a}^0 = \hat{a}_2^0 \hat{a}^3 \quad \left. \right\} \quad (4.3b.c) \\ \hat{a}_2^0 = \hat{a}_{21}^0 z + \hat{a}_{23}^0 b_{13}^0 z^2 + \dots$$

以上の式を用いて式 (4.3a) を式に代入して積分すれば
構成方程式が求まる。いま R を曲面の曲率半径とし、
1に代入して $(\frac{R}{f})^3$ のオーダーの項を省略すると、次式の
ような形式で構成方程式が求まる。

$$\begin{cases} \hat{N}^{\alpha\beta} \\ \hat{M}^{\alpha\beta} \end{cases} = \frac{E}{1-\nu^2} \hat{a}^{\alpha\beta} \hat{a}^{ku} \left\{ \frac{1}{R} I_1 + \frac{f^3}{R^3} I_3 \right\} \quad (4.4)$$

まとめ

○変形後のシエルに関するテンソル量を “ $\hat{\cdot}$ ” 付けて
表わし、変形前と全く同じ扱いができることを利用して
式を説明した。さらに3次元微小要素に関するフリ
リーリー式や境界条件を、式に代入して積分することにより
中央面の合力で表された諸式を求めた。このことが
差エネルギー法を用いた方法に比較して、式の説明過程を簡明にできた主な原因であると考えられる。

○一般に未知量として中央面上の変位を用いる場合が
多いが、本報告では変形後の中央面の計量テンソルお
よび曲率テンソルを未知量としている。これらの未知
量は変位によってても、変形後の位置によってても表わす
ことができるから、必要な未知量に従って式の変形が
容易にできる。

○(2.3b.c) の合力と応力テンソルの関係は、3次
元微小要素のフリーリー式と式に代入して積分した式より
定義したものである。従ってこの式を正確に計算す
ることにより厳密な構成方程式が得られる。

参考文献

- 1) P. Seide, Int. J. Non-Lin. Mech. Vol. 6, pp 361~396, 1971
- 2) R.M. Naghdi and R.P. Norden, Q. Appl. Math. 21, pp 69~79, 1963
- 3) W. Flügge, *Tensor Analysis and Continuum Mechanics*
Springer-Verlag, 1972.